

# 第 I 种离散 cosine 变换的残余相关\*

## The Residual Correlation of the Version I of the Discrete cosine Transform

王中德 许生龙

(中国科学院昆明物理研究所)\*\*

**【提要】** 给出了第 I 种离散 cosine 变换(DCT-I)的残余相关表达式。它和第 II 种离散 cosine 变换(DCT-II)及第 I 种离散 sine 变换(DST-I)残余相关的比较表明,在相关系数  $\rho$  取中等值时, DCT-I 的残余相关最小。

**Abstract:** The residual correlation of the version I of the discrete cosine transform (DCT-I) is given. It is compared with the residual correlations of the version II of the discrete cosine transform (DCT-II) and of the version I of the discrete sine transform (DST-I). Results show that the residual correlation of the DCT-I is the smallest one if the correlation coefficient  $\rho$  is mediate.

在相关系数  $\rho$  接近 1 时, 第 II 种离散 cosine 变换(DCT-II)已被证明是统计上的最佳变换, 即 Karhunen-Loève 变换(KLT)的一种极好近似<sup>[1]</sup>, 并已被广泛用于信号和图象处理<sup>[2,3]</sup>。王中德和 Hunt 曾介绍了第 I 种 cosine 变换(DCT-I), 并表明了当  $\rho < 0.8$  或  $N$  比较大时, DCT-I 具有与 DCT-II 同样好的性能<sup>[4]</sup>。由于 DCT-I 需要的计算量比 DCT-II 的少, 因此 DCT-I 也是一种应用前景很好的正交变换。本文给出了 DCT-I 的残余相关的表达式, 并以残余相关为标准, 把 DCT-I 与 DCT-II 及第 I 种离散 sine 变换(DST-I)进行了比较。

### 残 余 相 关<sup>[5]</sup>

评价正交变换优劣的标准, 有方差分布<sup>[6]</sup>、标量滤波<sup>[7]</sup>、信息率-失真函数<sup>[8]</sup>以及残余相关等。在这些标准中, 只有残余相关是对正交变换与 KLT 偏离程度的直接度量。而且, 正如文献[5]、[9]、[12]及本文所表明, 残余相关往往可从理论上得到一个简明的表达式, 因而残余相关成为评价正交变换优劣的一种最常用标准。

设  $U$  为一  $N$  阶正交矩阵;  $T = [\rho^{lm-n}]$  为一阶马尔柯夫过程的协方差矩阵;  $T' = UTU^{-1}$  为变换域协方差矩阵。令  $T'_U = \text{diag}(T'_{11}, T'_{22}, \dots, T'_{NN})$ ,  $T_U = U^{-1}T'_U U$ , 则  $U$  对  $T$  的残余相关定义为

\* 1984年8月收到, 1985年2月修改定稿。

\*\* Wang Zhong-de, Xu Sheng-long (Kumming Institute of Physics).

$$RC_U = |T - T_U|^2 / |T - I|^2 \quad (1)$$

其中  $I$  为单位矩阵, 而  $|A|^2 = \frac{1}{N} \sum_{i=1}^N \sum_{j=1}^N A_{ij}^2$  (2)

为矩阵  $A$  的 Hilbert-Schmidt 模。由  $U$  的正交性可以证明

$$|T - T_U|^2 = |T|^2 - \frac{1}{N} \sum_{i=1}^N (UTU^{-1})_{ii}^2 \quad (3)$$

文献[5]已给出了以下两个表达式:

$$|T|^2 = \frac{1+\rho^2}{1-\rho^2} - \frac{2\rho^2(1-\rho^{2N})}{N(1-\rho^2)^2} \quad (4)$$

$$|T - I|^2 = \frac{2\rho^2(N-1-N\rho^2+\rho^{2N})}{N(1-\rho^2)^2} \quad (5)$$

### DCT-I 的残余相关

$N = M + 1$  阶的 DCT-I 矩阵为

$$C^I = \sqrt{\frac{2}{M}} \left[ k_m k_n \cos \frac{mn\pi}{M} \right] \quad (6)$$

$m, n = 0, 1, \dots, M$ 。其中

$$k_i = \begin{cases} \sqrt{2}/2 & i=0 \text{ 或 } i=M \\ 1 & i \neq 0 \text{ 及 } i \neq M \end{cases} \quad (7)$$

显然,  $C^I$  是一个对称矩阵。我们求得  $T$  的变换域对角元素为

$$(C^I T C^I)_{00} = \frac{1+\rho}{1-\rho} + \frac{\rho^M}{M} + \frac{2\sqrt{2}(\rho-\rho^M)}{M(1-\rho)} + \frac{2(\rho^M+\rho^2-2\rho)}{M(1-\rho)^2} \quad (8)$$

$$(C^I T C^I)_{MM} = \frac{1-\rho}{1+\rho} + \frac{(-\rho)^M}{M} - \frac{2\sqrt{2}[\rho+(-\rho)^M]}{M(1+\rho)} + \frac{2[(-\rho)^M+\rho^2+2\rho]}{M(1+\rho)^2} \quad (9)$$

$$(C^I T C^I)_{mm} = \frac{(3-2\sqrt{2})}{M} [1+(-1)^m \rho^M] + \left\{ 1 + \frac{2}{M} (\sqrt{2}-1) [1-(-1)^m \rho^M] \right\} \\ \cdot \frac{1-\rho^2}{1+\rho^2-2\rho \cos(m\pi/M)} - \frac{[1-(-1)^m \rho^M]}{M} \left[ \frac{1-\rho^2}{1+\rho^2-2\rho \cos(m\pi/M)} \right]^2 \\ m \neq 0, M \quad (10)$$

将上述各式平方求和并化简, 得:

$$\sum_{m=0}^M (C^I T C^I)_{mm}^2 = (M+1) \frac{1+\rho^2}{1-\rho^2} + \frac{2\rho^2}{(1-\rho^2)^2} \left[ 5\rho^2 - 7 + 4\sqrt{2}(1-\rho^2) \right. \\ \left. + \frac{\psi(\rho)}{M} + \frac{\varphi(\rho)}{M^2} \right] \quad (11)$$

式中

$$\psi(\rho) = a(\rho)\rho^{2M-2} + b(\rho) \quad (12)$$

$$\varphi(\rho) = f(\rho)\rho^{2M-2} + g(\rho)\rho^{M-1} + h(\rho) \quad (13)$$

其中

$$a(\rho) = 12\sqrt{2} - (17 - 15\rho^2 + 6\rho^4 + 2\rho^6)/(1-\rho^2) \quad (14)$$

$$b(\rho) = (24 - 21\rho^2 + 7\rho^4)/(1-\rho^2) - 4\sqrt{2}(4-\rho^2) \quad (15)$$

$$f(\rho) = \frac{1+\rho^2}{1-\rho^2} \left[ 4\sqrt{2}(3+\rho^2) - \frac{17-9\rho^2+7\rho^4+\rho^6}{1-\rho^2} \right] \quad (16)$$

$$g(\rho) = \begin{cases} \frac{4\rho}{1-\rho^2} \left[ \frac{25-19\rho^2+11\rho^4-\rho^6}{1-\rho^2} - \sqrt{2}(17-2\rho^2+\rho^4) \right], & \text{当 } N \text{ 为偶数时} \\ \frac{4}{1-\rho^2} \left[ \frac{10+8\rho^2-6\rho^4+4\rho^6}{1-\rho^2} - \sqrt{2}(7+10\rho^2-\rho^4) \right], & \text{当 } N \text{ 为奇数时} \end{cases} \quad (17)$$

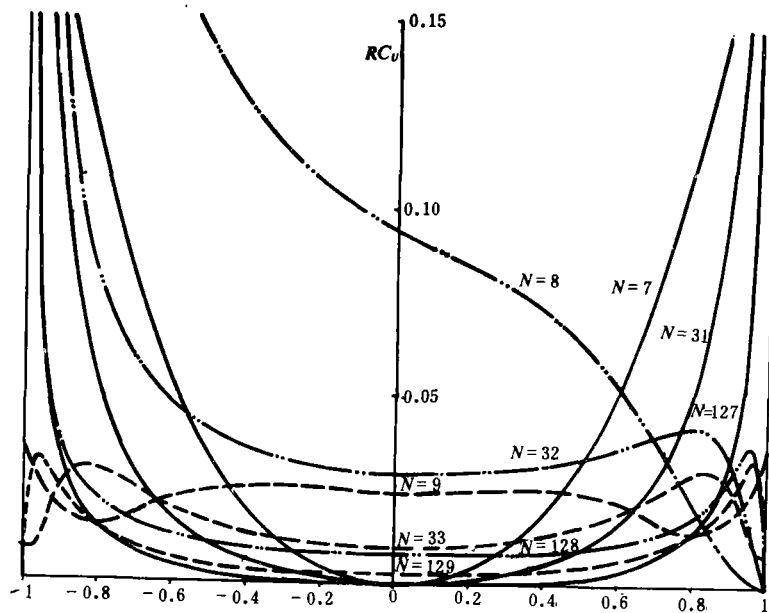


图1 DCT-I (虚线表示)、DCT-II (点划线表示)和DST-I (实线表示)残余相关的比较

$$h(\rho) = \frac{4}{1-\rho^2} \left[ 2\sqrt{2}(2+3\rho^2-\rho^4) - \frac{6+7\rho^2-8\rho^4+3\rho^6}{1-\rho^2} \right] \quad (18)$$

将 $N=M+1$ 及式(4)、(5)和(11)代入式(3)中,得到DCT-I的残余相关为

$$RC_{cI} = \frac{6-5\rho^2-4\sqrt{2}(1-\rho^2)+\rho^{2M+2}-[\psi(\rho)/M]-[\varphi(\rho)/M^2]}{M-(M+1)\rho^2+\rho^{2M+2}} \quad (19)$$

当 $\rho \rightarrow 0$ 和 $|\rho| \rightarrow 1$ 时

$$\lim_{\rho \rightarrow 0} RC_{cI} = \frac{6-4\sqrt{2}}{M} - \frac{(24-16\sqrt{2})}{M^2} \left( 1 - \frac{1}{M} \right) \quad (20)$$

$$\lim_{|\rho| \rightarrow 1} RC_{cI} = \frac{6-4\sqrt{2}}{M+1} \left( 1 - \frac{1}{M^2} \right) - \frac{17-12\sqrt{2}}{M(M+1)} \left( 1 - \frac{\alpha}{M^2} \right) \quad (21)$$

当 $M$ 为偶数时,  $\alpha=2$ ; 当 $M$ 为奇数时,  $\alpha=1$ 。

图1中画出了 $RC_{cI}$ 随 $\rho$ 而变化的曲线。由于目前对DCT-I的快速算法只适用于 $N=2^n+1$ 的情况<sup>[10]</sup>, 因此图1中的 $N$ 选为9、33和129。

## 与其他三角变换的比较

图 1 中同时画出了 DCT-II 和 DST-I 的残余相关, 其表达式可以在文献 [5] 和 [9] 中找到。因为目前对 DST-I 的算法只适用于  $N=2^n-1$ , 因此图中对 DST-I 的  $N$  值选为 7、31 和 127。

已经证明, 当  $\rho \rightarrow 1$  时, KLT 退化为 DCT-II<sup>[4]</sup>; 当  $\rho \rightarrow 0$  时, KLT 退化为 DST-I<sup>[11]</sup>。Hamidi 和 Pearl 曾指出 DCT-II 的渐近性质<sup>[5]</sup>, 即当  $N \rightarrow \infty$  时,  $RC_{cII} \rightarrow 0$ ; 也就是说, DCT-II  $\rightarrow$  KLT。其他三角变换, 例如离散 Fourier 变换<sup>[5]</sup>, 第 I 种和第 II 种离散 sine 变换<sup>[12]</sup>, 也都具有这一性质。从式(19)可以看出, 当  $M=N-1 \rightarrow \infty$  时,  $RC_{cI} \rightarrow 0$ , 因而 DCT-I 同样也具有这一性质。然而, 在  $[-1, 1]$  区间上存在着一些例外的点, 在这些点上, DCT-II 和 DST-I 的残余相关并不收敛于 0<sup>[9]</sup>。这样的点, 对 DCT-II 是  $\rho = -1$ ; 对 DST-I 是  $|\rho| = 1$ 。与此相反, DCT-I 却不存在这种例外的点。这可从式(20)和(21)看出。当  $N \rightarrow \infty$  时,  $RC_{cI}$  在整个区间  $[-1, 1]$  上一致收敛于 0。这一点的含意在于, 当  $N$  很大时, 若对系列的相关系数毫无所知, 则用 DCT-I 去作为 KLT 的近似, 要比用 DCT-II 或 DST-I 来得安全。

从图 1 中看出, 在  $\rho$  比较小时, DST-I 无疑比 DCT-I 和 DCT-II 都要优越。在  $\rho \approx 1$  时, DCT-II 的残余相关最小。但是, 当  $\rho$  取中间值时, DCT-I 则是三者中的最优者。这个中间值的范围, 当  $M=8$  时为  $0.45 \sim 0.85$ ; 当  $M=32$  时为  $0.65 \sim 0.96$ ; 当  $M=128$  时为  $0.80 \sim 0.99$ 。当  $M \geq 128$  时, 从残余相关的标准来看, 在  $[-1, 1]$  整个区间上, 除了在  $\rho=1$  的极小邻域外, DCT-I 要比 DCT-II 更优越。由于 DCT-I 所需的计算量比 DCT-II 的要小<sup>[10]</sup>, 因而, 在  $N$  比较大时, 或在  $\rho$  取中等值时, 把 DCT-I 用于数字信号处理, 将会取得比 DCT-II 更好的效果。

## 参 考 文 献

- [1] R. J. Clarke: Proc. IEE, Pt. F, Vol. 128, pp. 359—360, 1981.
- [2] J. M. Tribolet and R. E. Crochiere: IEEE Trans., Vol. ASSP-27, pp. 512—530, 1979.
- [3] W. H. Chen and C. H. Smith: IEEE Trans., Vol. COM-25, pp. 1285—1292, 1977.
- [4] Zhongde Wang (王中德) and B. R. Hunt: Proceedings of 1983 International Conference on Acoustic, Speech, and Signal Processing, pp. 1256—1259, 1983.
- [5] M. Hamidi and J. Pearl: IEEE Trans., Vol. ASSP-24, pp. 428—429, 1976.
- [6] N. Ahmed, T. Natarajan, and K. R. Rao: IEEE Trans., Vol. C-23, pp. 88—93, 1974.
- [7] W. K. Pratt: IEEE Trans., Vol. C-21 pp. 636—641, 1972.
- [8] J. Pearl, H. G. Andrews, and W. K. Pratt: IEEE Trans., Vol. COM-22, pp. 411—415, 1972.
- [9] Zhongde Wang and Shenglong Xu (王中德和许生龙): "Comments on 'On the Computation and the Effectiveness of Discrete Sine Transform'", Comput. Electr. Eng., to be published.
- [10] Zhongde Wang (王中德): IEEE Trans., Vol. ASSP-32, pp. 803—816, 1984.
- [11] 王中德: Karhunen-Loève 变换的几种特例, 电子学报, Vol. 13, No. 3, p. 118, 1985.
- [12] P. Yip and K. R. Rao: Comput. Electr. Eng., Vol. 7, pp. 45—55, 1980.